

## 準解析的인 方法에 依한 直四角形 平板의 挫屈解析

함 원 국

조선공학과

(1984. 4. 30 접수)

### 〈要 著〉

本論文은 Mindlin平板理論을 使用, Ritz法을 應用한 準解析的인 方法으로 單純支持된 面内荷重을 받는 平板挫屈에 對한 것이다.

一般的으로 比較的 두꺼운 平板에 對하여는 Mindlin平板理論은 古典的인 板理論을 使用하여 얻어진 값을 보다 낮은 挫屈荷重係數를 갖는 것을 알 수 있다.

## Buckling analysis of rectangular plates by semi-analytical method

Ham, Won Kuk

Dept. of Naval Architecture & Shipbuilding

(Received April 30, 1984)

### 〈Abstract〉

In this paper, the buckling analysis of moderately thick plates is considered by semi-analytical method based on Ritz method, using a mindlin's plate theory.

Compared with a wide variety of published results, for both thin and moderately thick plates, excellent accuracy is obtained. Especially compared to the well known' method; such as finite element method, the present method is very effective in computing time for buckling analysis of a rectangular plate subjected to uniaxial or biaxial load with all edges simply supported.

In general, it is found that for moderately thick plates, Mindlin's plate theory gives lower buckling loads than those obtained using classical thin plate theory.

### I. 緒 言

平板의 挫屈解所 問題는 그 重要性이 널리 認識 되어 많은 研究者들에 依하여 古典的인 解析方法 또는 電子計算機의 發達로 有限要素法 等의 數值解析法으로 多루어져 왔다. 特히 有限要素法은複雜한 構造와 一般的인 荷重條件과 境界條件를 갖는 挫屈問題에 가장 一般的인 方法이긴 하나 프로그램의 대형화, 資料의 準備과 結果值의 解析에도 많은 時間과 努力이 必要하다.

本論文에서는 이같은 點을 認識하여 平板의 挫屈問題를 有限要素法의 結果보다 解析精度가 더 높고 計算時間이 덜 소요되는 準解析的인 方法을 使用하였다.

먼저 平板全體의 劲동과 境界條을 滿足하는 變位函數를 假定하므로 Ritz의 方법을 應用하였고 Mindlin平板理論을 導入하므로 板의 剪斷效果를 考慮하였다.

本論文에서는 얇은 板으로부터 두께가 비교적 두꺼운 平板에 이르기까지 縱橫比(aspect ratio)를 變化시켜가며 一軸 壓縮荷重과 二軸 壓縮荷重에 對한

坐屈解剖을 수행 하였다.

얇은 판의 境遇는 文獻[1, 2, 3]에서 解析한 結果와 잘一致하여 比較的 두꺼운 平板에 對하어서는 文獻[4, 5]의 E. Hinton이 解析한 結果와도 滿足한一致를 나타내었다.

## II. 直四角形 平板의 挫屈解析

## 1. 靖 岳

船體의 構造를 形成하는 대부분의 平板은 다른 數值에 比하여 板두께는 대단히 작은 수치이므로 二次元的으로 解析하여도 무방하다.

Fig. 1. 에서와 같이 二軸荷重과 剪斷荷重을 同時에 받는 두께가 比較的 두꺼운 平板의 挫屈變形에너

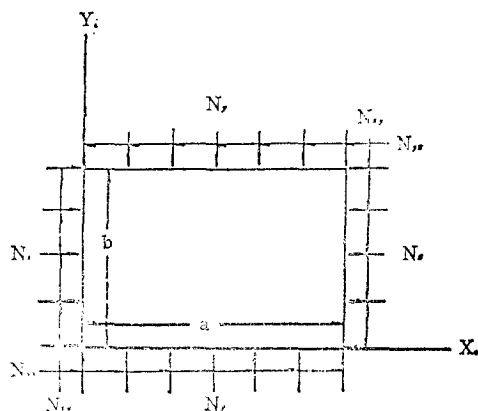
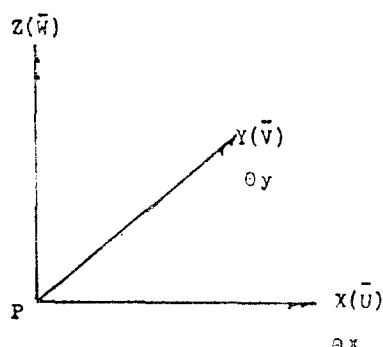


Fig. 1. Inplane Loads



(a) Midplane deformation

거를 考察하고 이것을 最少 조건을 대비해 黑理를 사용하여 準解析의 方法으로 定式화하여 擊屈解析을 하였다.

이어서  $N_x$ ,  $N_y$ ,  $N_{xz}$ , 및  $N_{yz}$ 는 각의 罩盤과 平板의 單位 長이에 應力を 나타내며  $N_x = \sigma_x \cdot t$ ,  $t$ 는 平板의 두께를 나타낸다.

## 2. 假 定

두께가 비교적 두꺼운平板의 二次元解析을 爲하여는 아래와 같은 假定이 必要하다.

•平板의 朴料는 完全 彈性體로서 等方性이며 Hooke의 法則이 滿足된다.

◦平板의 中立面에 對한伸張은 無視하고 張에 依하變位나움을 考慮한다.

•平板의 두께 方向으로의 伸張은 無視하여 變形은 두께에 비하여 매우 적으로 한다.

• 풍부한初期變形을 염두로 하자.

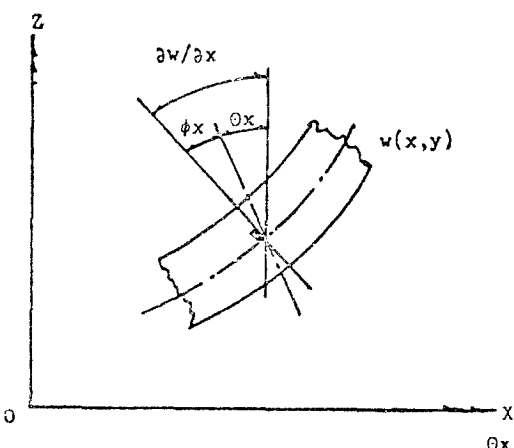
### 3. 變形度與應力成分

Fig. 2(a)에서와 같이 座標를 設定하면 平板내의  
임의점  $P(x, y, z)$ 에서의  $x, y, z$ 方向의 變位  $u, v,$   
 $w$ 는 中立面의 變位  $\bar{u}, \bar{v}, \bar{w}$ 와 中立面의 垂線의 開  
藉角  $\varphi_x, \theta_y, \theta_z$ 로 아래와 같이 나타낼 수 있다.

$$\begin{aligned} u &= \bar{u}(x, y, z) + u_b(x, y) \\ v &= \bar{v}(x, y) + v_b(x, y) \\ w &= \bar{w}(x, y) + w(x, y) \end{aligned} \quad (2.1)$$

2-2절의 假定에 따라 式(2.1)을 아래와 같이 풀어

$$y_{\text{err}} = Z \cdot \theta \quad (\gamma \cdot v) = -Z \cdot \theta$$



(b) Ro

$$v = -Z \cdot \theta_x(x, y) = -Z \cdot \theta_y \quad (2.2)$$

$$w = w(x, y) = w$$

Fig. 2(b)에서  $\theta_x$ 는 평면에 依한 中立面에 垂直한 斷面의 回轉角이而  $\phi_x$ 는 剪斷變形에 依한 變形角이다. 또한  $\partial w / \partial x$ 는 원의 點  $P(x, y, z)$ 에서의 가울기로  $\theta_x$ 에  $\phi_x$ 를 加한 값이다.

式 (2.2)의 變位成分  $u, v, w$ 로부터 微少變形 理論을 適用하여 變形度成分을 求하면 아래와 같다.

$$\begin{aligned} \varepsilon_x &= \frac{\partial u}{\partial x} = -Z \frac{\partial \theta_x}{\partial x} \\ \varepsilon_y &= \frac{\partial v}{\partial y} = -Z \frac{\partial \theta_y}{\partial y} \\ \varepsilon_z &= 0 \end{aligned} \quad (2.3)$$

$$\begin{aligned} \varepsilon_{xy} &= \frac{1}{2} \left( \frac{\partial u}{\partial y} + \frac{\partial v}{\partial x} \right) = \frac{Z}{2} \left( \frac{\partial \theta_x}{\partial y} + \frac{\partial \theta_y}{\partial x} \right) \\ \varepsilon_{xz} &= \frac{1}{2} \left( \frac{\partial u}{\partial z} + \frac{\partial w}{\partial x} \right) = \frac{1}{2} \left( \frac{\partial w}{\partial x} - \theta_x \right) \\ \varepsilon_{yz} &= \frac{1}{2} \left( \frac{\partial w}{\partial y} + \frac{\partial v}{\partial z} \right) = \frac{1}{2} \left( \frac{\partial w}{\partial y} - \theta_y \right) \end{aligned}$$

그런데 等方性 平板에서는 應力-變形度 關係式은 다음과 같다.

$$\begin{aligned} \tau_x &= \frac{E}{1-\nu^2} (\varepsilon_x - \nu \varepsilon_y) \\ \tau_y &= \frac{E}{1-\nu^2} (\varepsilon_y - \nu \varepsilon_x) \\ \tau_{xy} &= 2G\varepsilon_{xy} = \frac{E}{1+\nu} \varepsilon_{xy} \quad (2.4) \\ \tau_{xz} &= 2G\varepsilon_{xz} = \frac{E}{1+\nu} \varepsilon_{xz} \\ \tau_{yz} &= 2G\varepsilon_{yz} = \frac{E}{1+\nu} \varepsilon_{yz} \end{aligned}$$

여기서  $E, G$ 는 弹性係數이며  $\nu$ 는 稅加宗 比이다.

#### 4. 平面 內荷重에 依한 變形 에너지

Fig. 1.에서와 같이 直四角形 平板에 平面 內荷重이 加해될 時遇, 譚性 限度內에서 平板에 作用되는 變形에너지에는 아래 式과 같이 된다.

$$\begin{aligned} U &= -\frac{1}{2} \int_A [ \tau_x \cdot \varepsilon_x + \tau_y \cdot \varepsilon_y - 2\tau_{xy} \cdot \varepsilon_{xy} \\ &\quad + 2\tau_{xz} \cdot \varepsilon_{xz} + 2\tau_{yz} \cdot \varepsilon_{yz} ] dv \end{aligned} \quad (2.5)$$

式 (2.5)의 應力成分을 式 (2.3)과 (2.4)를 使用하여 變位成分으로 換換하고, 軸方向에 對하여 積分을 途行하면 變形에너지에는 나는 式과 같이 된다.

$$\begin{aligned} U &= \frac{1}{2} \int_A \left[ \frac{Et^3}{12(1-\nu^2)} \left\{ \left( \frac{\partial \theta_x}{\partial x} \right)^2 + \left( \frac{\partial \theta_y}{\partial y} \right)^2 \right. \right. \\ &\quad \left. \left. + 2\nu \frac{\partial \theta_x}{\partial x} \cdot \frac{\partial \theta_y}{\partial y} \right\} \right] dx dy \end{aligned}$$

$$\begin{aligned} &\quad + \frac{Et^3}{24(1+\nu)} \left( \frac{\partial \theta_x}{\partial y} + \frac{\partial \theta_y}{\partial x} \right)^2 \\ &\quad + \frac{Et}{2(1-\nu)} \left\{ \frac{\partial w}{\partial x} - \theta_x \right\}^2 \\ &\quad + \left( \frac{\partial w}{\partial y} - \theta_y \right)^2 \] dx dy \end{aligned} \quad (2.6)$$

위 式에서 剛性係數  $D, S$ 를 導入하면 아래와 같다.

$$\begin{aligned} U &= \frac{1}{2} \int_A \left[ D \left( \frac{\partial \theta_x}{\partial x} \right)^2 + D \left( \frac{\partial \theta_y}{\partial y} \right)^2 \right. \\ &\quad \left. + 2\nu D \frac{\partial \theta_x}{\partial x} \cdot \frac{\partial \theta_y}{\partial y} \right. \\ &\quad \left. + \frac{1-\nu}{2} \cdot D \left( \frac{\partial \theta_x}{\partial y} + \frac{\partial \theta_y}{\partial x} \right)^2 \right. \\ &\quad \left. + S \left( \frac{\partial w}{\partial x} - \theta_x \right)^2 + S \left( \frac{\partial w}{\partial y} - \theta_y \right)^2 \right] dx dy \end{aligned} \quad (2.6)$$

$$\text{여기서 } D = \frac{Et^3}{12(1-\nu^2)}$$

$$S = \alpha Gt = \frac{Et}{2 \cdot 4(1-\nu)}$$

$$\alpha = 5/6$$

Fig. 2(b)에서와 같이  $\alpha$ 는 假定된 平均剪斷應力와 變形度  $\theta_x, \theta_y$ 에 對한 剪斷應力의 比로써 等方性平板의 時遇는 一般的으로  $\alpha = 5/6$ 을 使用한다.

또한 Fig. 3에서와 같이 平板 內荷重  $N_x, N_y, N_{xy}$ 에 依한 포렌실 에너지는 아래와 같이 誘導할 수 있다.

荷重  $N_x$ 가 원의 幢板에 作用할 때 포렌실 에너지  $dV_x$ 는 아래와 같다.

$$dV_x = -N_x dy \left[ \frac{1}{2} \int_0^a \left( \frac{\partial v}{\partial x} \right)^2 \right] dx$$

그러므로

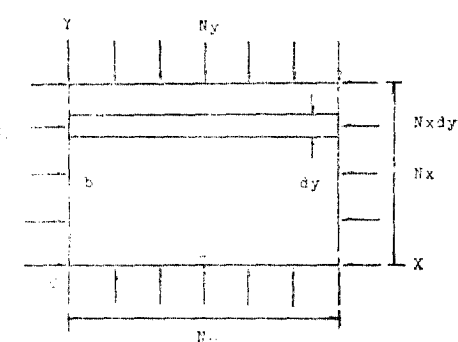


Fig. 3. Inplane loads

$$V_s = - \int_0^b \frac{N_s}{2} \int_0^a \left( \frac{\partial w}{\partial x} \right)^2 dx dy$$

같은 方法으로 面內力  $N_x, N_y, N_{xy}$ 에 依한 포텐셜 에너지  $V$ 는 다음과 같다.

$$\begin{aligned} V &= - \frac{1}{2} \int_A \left[ N_x \left( \frac{\partial w}{\partial x} \right)^2 + N_y \left( \frac{\partial w}{\partial y} \right)^2 \right. \\ &\quad \left. + 2N_{xy} \cdot \frac{\partial w}{\partial x} \cdot \frac{\partial w}{\partial y} \right] dx dy \end{aligned} \quad (2.7)$$

따라서 式(2.6)와 (2.7)을 加하여 平板 全體의 포텐셜 에너지  $\Pi$ 를 나타내면 아래와 같다.

$$\Pi = U + V$$

$$\begin{aligned} &= \frac{1}{2} \int_A \left[ D \left( \frac{\partial \theta_x}{\partial x} \right)^2 + D \left( \frac{\partial \theta_y}{\partial y} \right)^2 \right. \\ &\quad + 2\nu D \frac{\partial \theta_x}{\partial x} \cdot \frac{\partial \theta_y}{\partial x} \\ &\quad + \frac{1-\nu}{2} D \left( \frac{\partial \theta_x}{\partial y} + \frac{\partial \theta_y}{\partial x} \right)^2 \\ &\quad \left. + S \left( \frac{\partial w}{\partial x} - \theta_x \right)^2 + S \left( \frac{\partial w}{\partial y} - \theta_y \right)^2 \right] dx dy \\ &\quad - \frac{1}{2} \int_A \left[ N_x \left( \frac{\partial w}{\partial x} \right)^2 + N_y \left( \frac{\partial w}{\partial y} \right)^2 \right. \\ &\quad \left. + 2N_{xy} \cdot \frac{\partial w}{\partial x} \cdot \frac{\partial w}{\partial y} \right] dx dy \end{aligned} \quad (2.8)$$

## 5. Ritz 法에 依한 挫屈方程式의 誘導

### (1) 變形度一變位 關係式

Fig. 2(b)에서 알 수 있는 바와 같이

$$\begin{aligned} \frac{\partial w}{\partial x} &= \theta_x + \phi_x \text{ 이므로 } \phi_x = \frac{\partial w}{\partial x} - \theta_x, \text{ 같은 方法으로} \\ \phi_y &= \frac{\partial w}{\partial y} - \theta_y \text{ 이 된다.} \end{aligned}$$

따라서 線形 剪斷 變形度  $\{\varepsilon_s\}$ 는 아래와 같다.

$$\{\varepsilon_s\} = \begin{cases} \frac{\partial w}{\partial x} - \theta_x = \phi_x \\ \frac{\partial w}{\partial y} - \theta_y = \phi_y \end{cases} \quad (2.9a)$$

그리고 因한 變形度  $\{\varepsilon_b\}$

$$\{\varepsilon_b\} = \begin{cases} \chi_x \\ \chi_y \\ \chi_{xy} \end{cases} = \begin{cases} -\frac{\partial \theta_x}{\partial x} \\ -\frac{\partial \theta_y}{\partial y} \\ -\frac{\partial \theta_x}{\partial y} + \frac{\partial \theta_y}{\partial x} \end{cases} \quad (2.9b)$$

그리므로 平板의 剪斷 變形을 考慮한 變形度  $\{\varepsilon\}$ 는 다음과 같다.

$$\{\varepsilon\} = \begin{cases} \chi_x \\ \chi_y \\ \chi_{xy} \\ \dots \\ \phi_x \\ \phi_y \end{cases} = \begin{cases} -\frac{\partial \theta_x}{\partial x} \\ -\frac{\partial \theta_y}{\partial y} \\ -\left( \frac{\partial \theta_x}{\partial y} + \frac{\partial \theta_y}{\partial x} \right) \\ \dots \\ -\frac{\partial w}{\partial x} - \theta_x \\ \frac{\partial w}{\partial y} - \theta_y \end{cases} \quad (2.9c)$$

### (2) 應力一變形度 關係式

$$\{\sigma\} = [D]\{\varepsilon\} \text{ 이므로}$$

$$\begin{cases} M_x \\ M_y \\ M_{xy} \\ \dots \\ S_x \\ S_y \end{cases} = \begin{cases} D_b & O & \chi_x \\ O & D_s & \chi_y \\ \dots & \dots & \dots \\ O & D_s & \phi_x \\ O & D_s & \phi_y \end{cases} \quad (2.10)$$

위식에서  $D_b$  와  $D_s$ 는 剛性係數로서 아래와 같은 값을 갖는다.

$$\begin{aligned} [D_b] &= \frac{Et^3}{12(1-\nu^2)} \begin{bmatrix} 1 & \nu & 0 \\ \nu & 1 & 0 \\ 0 & 0 & \frac{1-\nu}{2} \end{bmatrix} \\ &= D \begin{bmatrix} 1 & \nu & 0 \\ \nu & 1 & 0 \\ 0 & 0 & \frac{1-\nu}{2} \end{bmatrix} \end{aligned}$$

$$[D_s] = \frac{Et}{2.4(1+\nu)} \begin{bmatrix} 1 & 0 \\ 0 & 1 \end{bmatrix} = S \begin{bmatrix} 1 & 0 \\ 0 & 1 \end{bmatrix}$$

### (3) 平板 全體의 포텐셜 에너지 $\Pi$

平板에 저장된 變形에너지  $U$  를 하면 다음과 같다.

$$U = \frac{1}{2} \int_A \{\sigma\}^T \{\varepsilon\} dA \quad (2.11a)$$

平板 内荷重  $N_x, N_y, N_{xy}$ 에 依한 포텐셜 에너지를  $V$  라 하면

$$\begin{aligned} V &= - \frac{1}{2} \int_A \{G\}^T \begin{bmatrix} N_x & N_{xy} \\ N_{xy} & N_y \end{bmatrix} \{G\} dA \\ &= - \frac{1}{2} \int_A \{G\}^T \{S_b\} \{G\} dA \end{aligned} \quad (2.11b)$$

여기서

$$\{G\} = \begin{cases} \frac{\partial w}{\partial x} \\ \frac{\partial w}{\partial y} \end{cases} \quad [S_b] = \begin{bmatrix} N_x & N_{xy} \\ N_{xy} & N_y \end{bmatrix} \text{ 이 된다.}$$

따라서

$$\Pi = U + V$$

$$= \frac{1}{2} \int_A \{\sigma\}^T \{\varepsilon\} dA - \frac{1}{2} \int_A \{G\}^T [S_0] \{G\} dA \quad (2.11c)$$

## (4) 變位函數의 假定

從來의 挫屈解析에서는 Kirchhoff 平板理論을 適用하여 中立面의 처짐 變位  $w$ 에 對한 境界條件를 滿足하는 函數만을 선정하여 使用하였다.

本論文에서는 Mindlin 平板理論을 適用하였고 中立面의 처짐 變位  $w$ 와 回轉變位  $\theta_x, \theta_y$ 에 對한 境界條件를 滿足하는 函數를 獨立의으로 選定하여 剪斷變形의 영향을 考慮한 挫屈解析을 하였다.

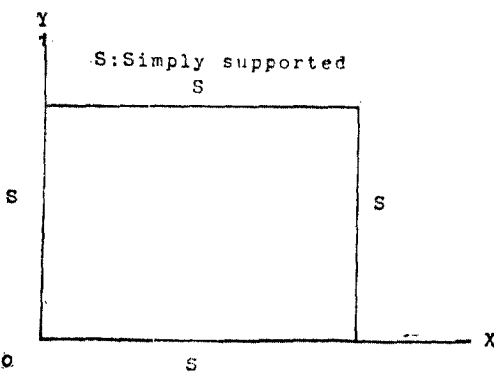


Fig. 4. Boundary Condition

$$\begin{aligned} & \left\{ \begin{array}{l} \theta_{xmn} \frac{m\pi}{a} \sin \frac{m\pi x}{a} \sin \frac{n\pi y}{b} \\ \theta_{ymn} \frac{n\pi}{b} \sin \frac{m\pi x}{a} \sin \frac{n\pi y}{b} \\ - \left( \theta_{xmn} \frac{n\pi}{b} \cos \frac{m\pi x}{a} \cos \frac{n\pi y}{b} + \theta_{ymn} \frac{m\pi}{n} \cos \frac{m\pi x}{a} \cos \frac{m\pi y}{b} \right) \end{array} \right\} \\ & = \left[ \begin{array}{ccc|c} \frac{m\pi}{a} \sin \frac{m\pi x}{a} \sin \frac{n\pi y}{b} & & & 0 \\ 0 & \frac{n\pi}{b} \sin \frac{m\pi x}{a} \sin \frac{n\pi y}{b} & & \left\{ \begin{array}{l} \theta_{xmn} \\ \theta_{ymn} \end{array} \right\} \\ - \frac{n\pi}{b} \cos \frac{m\pi x}{a} \cos \frac{n\pi y}{b} & - \frac{m\pi}{a} \cos \frac{m\pi x}{a} \cos \frac{n\pi y}{b} & & \end{array} \right] \\ & \left\{ \begin{array}{l} \phi_x \\ \phi_y \end{array} \right\} = \left\{ \begin{array}{l} \frac{\partial w}{\partial x} - \theta_x \\ \frac{\partial w}{\partial y} - \theta_y \end{array} \right\} = \left\{ \begin{array}{l} W_{mn} \frac{m\pi}{a} \cos \frac{m\pi x}{a} \sin \frac{n\pi y}{b} - \theta_{xmn} \cos \frac{m\pi x}{a} \sin \frac{n\pi y}{b} \\ W_{mn} \frac{n\pi}{b} \sin \frac{m\pi x}{a} \cos \frac{n\pi y}{b} - \theta_{ymn} \sin \frac{m\pi x}{a} \cos \frac{n\pi y}{b} \end{array} \right\} \\ & = \left[ \begin{array}{ccc|c} \frac{m\pi}{a} \cos \frac{m\pi x}{a} \sin \frac{n\pi y}{b} & - \cos \frac{m\pi x}{a} \sin \frac{n\pi y}{b} & & 0 \\ \frac{n\pi}{b} \sin \frac{m\pi x}{a} \cos \frac{n\pi y}{b} & 0 & & - \sin \frac{m\pi x}{a} \cos \frac{n\pi y}{b} \end{array} \right] \left\{ \begin{array}{l} W_{mn} \\ \theta_{xmn} \\ \theta_{ymn} \end{array} \right\} \end{aligned}$$

Fig. 4에서와 같이 처짐  $w$ 일때 아래 境界條件를 滿足해야 한다.

$$x=0, a \text{ 일때 } w=\frac{\partial^2 w}{\partial x^2}=0$$

$$y=0, a \text{ 일때 } w=\frac{\partial^2 w}{\partial y^2}=0$$

같은 方法으로 回轉角  $\theta_x, \theta_y$ 도 아래 境界條件를 滿足해야 한다.

$$x=0, a \text{ 일때 } \theta_y=0$$

$$y=0, a \text{ 일때 } \theta_x=0$$

그러므로 위의 條件들을 滿足하는 變位函數를 아래와 같이 獨立의으로 假定한다.

$$w=W_{mn} \sin \frac{m\pi x}{a} \sin \frac{n\pi y}{b}$$

$$\theta_x=\Theta_{xmn} \cos \frac{m\pi x}{a} \sin \frac{n\pi y}{b}$$

$$\theta_y=\Theta_{ymn} \sin \frac{m\pi x}{a} \cos \frac{n\pi y}{b} \quad (2.12)$$

여기서  $W_{mn}, \Theta_{xmn}, \Theta_{ymn}$ 은 각각  $w, \theta_x, \theta_y$ 의 未知係數, 즉 Ritz coef.이고  $m, n$ 은 挫屈 모우드의 半週期의 數를 나타낸다.

## (5) 變形度-未知係數 關係式

위 (2.12)식을 이용하여 (2.9c)식의 變形度  $\{\varepsilon\}$ 와 (2.11b)식의 行列  $\{G\}$ 를 나타내면 아래와 같은 式을 얻는다.

$$\{\varepsilon_s\} = \begin{pmatrix} \chi_x \\ \chi_y \\ \chi_{xy} \end{pmatrix} = \begin{pmatrix} -\frac{\partial \theta_x}{\partial x} \\ -\frac{\partial \theta_y}{\partial y} \\ -\left(\frac{\partial \theta_x}{\partial y} + \frac{\partial \theta_y}{\partial x}\right) \end{pmatrix}$$

$$\begin{bmatrix} \frac{\partial w}{\partial x} - \theta_x \\ \frac{\partial w}{\partial y} - \theta_y \\ \end{bmatrix} = \begin{bmatrix} \frac{m\pi}{a} \cos \frac{m\pi x}{a} \sin \frac{n\pi y}{b} & 0 \\ 0 & \frac{n\pi}{b} \sin \frac{m\pi x}{a} \sin \frac{n\pi y}{b} \end{bmatrix} \begin{pmatrix} \Theta_{xmn} \\ \Theta_{ymn} \end{pmatrix}$$

$$\begin{bmatrix} \phi_x \\ \phi_y \end{bmatrix} = \begin{bmatrix} \frac{\partial w}{\partial x} - \theta_x \\ \frac{\partial w}{\partial y} - \theta_y \end{bmatrix} = \begin{bmatrix} W_{mn} \frac{m\pi}{a} \cos \frac{m\pi x}{a} \sin \frac{n\pi y}{b} - \theta_{xmn} \cos \frac{m\pi x}{a} \sin \frac{n\pi y}{b} \\ W_{mn} \frac{n\pi}{b} \sin \frac{m\pi x}{a} \cos \frac{n\pi y}{b} - \theta_{ymn} \sin \frac{m\pi x}{a} \cos \frac{n\pi y}{b} \end{bmatrix}$$

그러므로,  $\{\varepsilon\} = \{\varepsilon_b\} + \{\varepsilon_s\}$  이므로

$$\begin{aligned} \{\varepsilon\} &= \begin{Bmatrix} \varepsilon_b \\ \varepsilon_s \end{Bmatrix} \\ &= \begin{Bmatrix} 0 & \frac{m\pi}{a} \sin \frac{m\pi x}{a} \sin \frac{n\pi y}{b} & 0 \\ 0 & 0 & \frac{n\pi}{b} \sin \frac{m\pi x}{a} \sin \frac{n\pi y}{b} \\ 0 & -\frac{n\pi}{b} \cos \frac{m\pi x}{a} \cos \frac{n\pi y}{b} & -\frac{mn}{a} \cos \frac{m\pi x}{a} \cos \frac{n\pi y}{b} \\ \frac{m\pi}{a} \cos \frac{m\pi x}{a} \sin \frac{n\pi y}{b} & -\cos \frac{m\pi x}{a} \sin \frac{n\pi y}{b} & 0 \\ \frac{n\pi}{b} \sin \frac{m\pi x}{a} \cos \frac{n\pi y}{b} & 0 & -\sin \frac{m\pi x}{a} \cos \frac{n\pi y}{b} \end{Bmatrix} \begin{Bmatrix} W_{mn} \\ \Theta_{mn} \\ \Theta_{smn} \end{Bmatrix} \\ &= \begin{Bmatrix} B_b \\ B_s \end{Bmatrix} \{\delta\} = [B] \{\delta\} \end{aligned} \quad (2.13a)$$

같은 방법으로 式 (2.11b)의 행렬  $\{G\}$ 는

$$\begin{aligned} \{G\} &= \begin{Bmatrix} \frac{\partial w}{\partial x} \\ \frac{\partial w}{\partial x} \end{Bmatrix} = \begin{Bmatrix} W_{mn} \frac{m\pi}{a} \cos \frac{m\pi x}{a} \sin \frac{n\pi y}{b} \\ W_{mn} \frac{n\pi}{b} \sin \frac{m\pi x}{a} \cos \frac{n\pi y}{b} \end{Bmatrix} = \begin{Bmatrix} \frac{m\pi}{a} \cos \frac{m\pi x}{a} \sin \frac{n\pi y}{b} \\ \frac{n\pi}{b} \sin \frac{m\pi x}{a} \cos \frac{n\pi y}{b} \end{Bmatrix} \{W_{mn}\} \\ &= \begin{Bmatrix} \frac{m\pi}{a} \cos \frac{m\pi x}{a} \sin \frac{n\pi y}{b} & 0 & 0 \\ \frac{n\pi}{b} \sin \frac{m\pi x}{a} \cos \frac{n\pi y}{b} & 0 & 0 \end{Bmatrix} \begin{Bmatrix} W_{mn} \\ \Theta_{mn} \\ \Theta_{smn} \end{Bmatrix} = [C] \{\delta\} \end{aligned} \quad (2.13b)$$

### (6) 固有值 方程式의 構成

平板 全體의 표면적 에너지를  $H$ , 平板 内荷重에  
依한 變形 에너지를  $U$  그리고 平板의 表面 能 에너  
지를  $V$  라 하면  $H$ 는 아래와 같다.

$$\begin{aligned} H &= U + V \\ &= \frac{1}{2} \int_A \{\delta\}^T \{G\} dA + \frac{1}{2} \int_A \{G\}^T [S_0] \{G\} dA \\ &= \frac{1}{2} \int_A \{\varepsilon\}^T [D]^T \{\varepsilon\} dA \\ &\quad - \frac{1}{2} \int_A \{G\}^T [S_0] \{G\} dA \\ &= \frac{1}{2} \int_A \{\delta\}^T [B]^T [D] [B] \{\delta\} dA \\ &\quad - \frac{1}{2} \int_A \{\delta\}^T [C]^T [S_0] [C] \{\delta\} dA \\ &= \frac{1}{2} \{\delta\}^T \left( \int_A [B]^T [D] [B] dA \right) \{\delta\} \\ &\quad - \int_A [C]^T [S_0] [C] dA \end{aligned} \quad (2.14a)$$

最少 에너지 原理에 따라 中立平衡을 取하면

$$\begin{aligned} \frac{\partial H}{\partial \delta} &= \left( \int_A [B]^T [D] [B] dA \right. \\ &\quad \left. - \int_A [C]^T [S_0] [C] dA \right) \{\delta\} = 0 \end{aligned}$$

여기서

$$\int_A [B]^T [D] [B] dA = [K]$$

$$\int_A [C]^T [S_0] [C] dA = [K_c]$$

$$([K] - [K_c]) \{\delta\} = 0$$

그런데 荷重 係數  $\lambda$ 를 導入하여  $N_x = \lambda N_{x0}$ ,  $N_y = \lambda N_{y0}$ ,  $N_{xy} = \lambda N_{xy0}$  라 하면

$$[S_0] = \lambda \begin{bmatrix} N_{x0} & N_{xy0} \\ N_{xy0} & N_{y0} \end{bmatrix} = \lambda [S]$$

$$([K] - \lambda [K_c]) \{\delta\} = 0 \quad (2.14b)$$

即 (2.14b)式과 같은 固有值 方程式으로 彙積된다.

### III. 電算 프로그램과 解析例

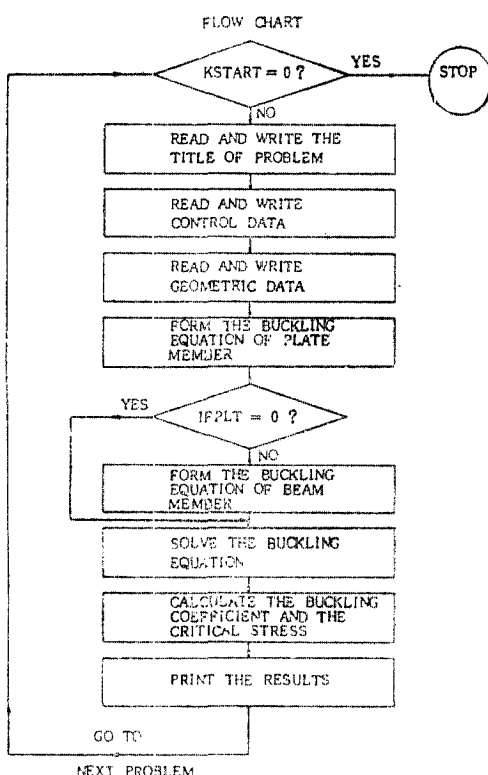
#### 1. 電算 프로그램의 逐層도

아래와 같이 프로그램화 하여 計算하였다.

#### 2. 解析例

##### (1) 解析精度의 比較

四邊 單純支持 狀態에서 폭  $b=800mm$  이고, 長  
軸비( $a/b$ )가 0.2에서 4.0까지, 그리고 高度의 長  
軸비( $t/b$ )가 0.001에서 0.2까지 變하는 多樣한 幕



板의 一軸 壓縮 및 二軸 壓縮荷重下에서의 振屈解  
析을 수행하여 振屈係數의 最少值를 추정하였다.

本研究方法의 解析精度를 確認하기 為하여 一軸  
및 二軸 壓縮荷重을 받는 경우에 對한 振屈係數를  
求하여 文獻 [1, 8, 9, 10]에서 解析한結果와 比較하

Table 1 Buckling factors simply supported square plate

author	elements	uniaxial load	biaxial load	remark
K. K. Kapur & J. Hartz	16	3.770	—	$b/t = 800$
	64	3.993	—	
D. J. Allman	16	4.031	2.016	$b/t = 80$
	64	4.006	2.003	
P. D. C. Yang	4	3.9113	2.003	$b/t = 800$
	16	4.0244	—	
Present method	—	4.000	1.9996	$b/t = 800$
	—	3.9965	1.9982	
Timoshenko	—	4.000	2.000	

여 Table. 1에 나타내었다. Fig. 5와 Table 1는 본  
研究結果가 Timoshenko의 論述 平板解와 잘  
차합을 보여준다.

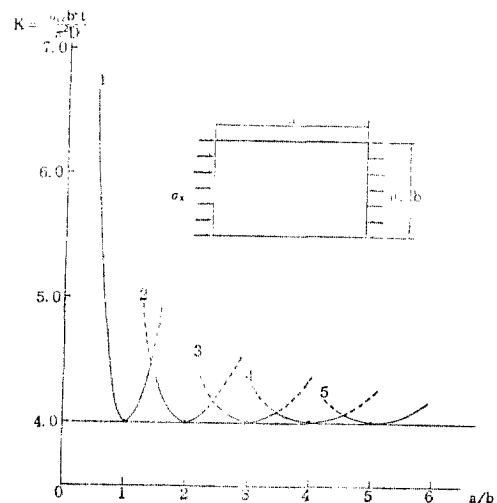


Fig. 5. Buckling curves for simply supported rectangular plates

### (2) 一軸 壓縮荷重을 받는 平板

四邊單純 支持平板이 一軸 壓縮荷重을 받을 때 판  
두께가 增加한에 따라 剪斷變形이 振屈荷重에 미치  
는 영향을 조사하였다. Table 2는  $a/b=1.0$ 이고  
 $t/b = 0.00125$ 에서 0.20까지 變化할 때 振屈係數의  
變化를 나타낸다. Fig. 6과 Table 2에서 알 수  
있는 것은 三次元解 文獻 [13], Timoshenko의 論述  
은 板에 對한 解 文獻 [1], Rao에 依한 두꺼운 平  
板解 文獻 [7], 有限帶板法에 依한 解析值 文獻 [5]  
사이에서 近似한 값을 나타내고 있다. 論述 平板解  
析에서는  $t/b$ 의 增加에 따라 振屈荷重係數가 實際  
必要以上으로 크게 뛸을 알 수 있다. 또한 論述 平  
板解析에서는 振屈係數의 最少值는 종횡비의 增加  
에 關係없이  $a/b=1.0, 2.0, 3.0\cdots$  等 정수값에서 發  
生되었으나 板 두께의 增加에 따라 종횡비( $a/b$ )의  
값이 극值 수록 점차 正數值보다 작은 어떤 값에서  
振屈荷重 係數의 最少值가 發生됨을 Table 3과  
Fig. 7에서 보여준다.

### (3) 二軸 壓縮荷重을 받는 平板

論述 平板이 二軸 壓縮荷重을 받는 境遇,  $t/b$ 가  
각각 0.01과 0.1에 對하여 應力比( $\sigma_y/\sigma_x$ )가  $-1.0 \leq$   
 $\sigma_y/\sigma_x \leq 1.0$ 인 범위이고 종횡비가 0.2에서 5.0까지  
變化할 때 振屈 荷重係數를 求하였다. 그結果를 文

Table 2. Buckling of Simply Supported Square plates under uniaxial loads

Reference Author	[13] Exact 3-D	[5] F. S.	Author	[7] F. E. M.	[10] P. D. C. Y.	[1] T. P.
t/b	K					
0.001	4.000	3.999	4.000	4.000	4.020	4.000
0.00125	—	—	4.000	—	—	4.000
0.050	3.000	3.929	3.944	3.944	3.889	4.000
0.100	3.741	3.737	3.787	3.787	3.787	4.000
0.150	—	—	3.550	—	—	4.000
0.200	3.150	3.126	3.236	3.263	—	4.000

Table 3. Lowest values of buckling factor

No	t/b	K						
		a/b	0.9	1.0	1.9	2.0	2.9	3.0
1	.00125			4.000		4.000		4.000
2	.00625			3.9991		3.9991		3.9991
3	.0205			3.9860		3.9860		3.9860
4	.0500			3.9440		3.9440		3.9440
5	.0750			3.8770		3.8770		3.8770
6	.1000			3.7865	3.7855		3.7837	
7	.1250			3.6761	3.6697		3.6699	
8	.1500	3.5423			3.5374		3.5370	

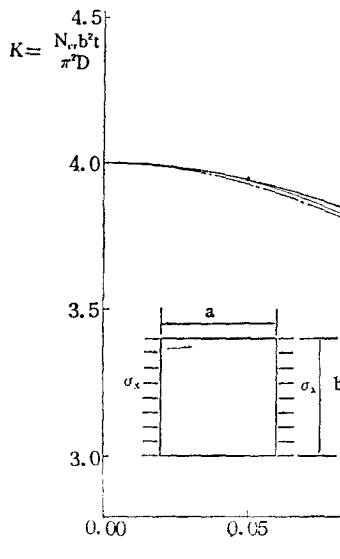
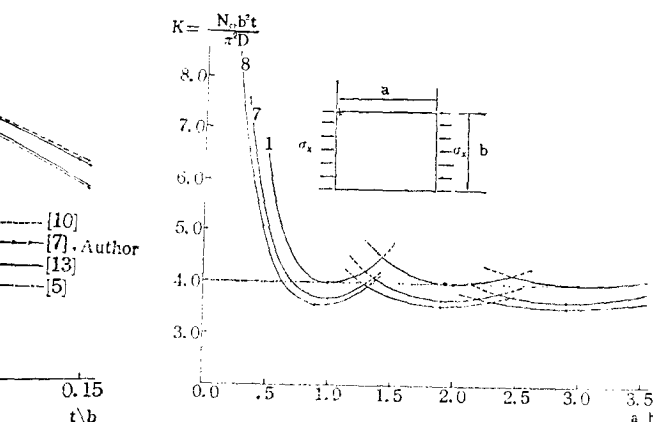
Fig. 6 Buckling Factors for considering shear effect simply Supported Square plates of various thickness vs span ratio ( $a/b = 1.0$ )

Fig. 7. Lowest values of buckling factors vs aspect ratio.

Table 4 Buckling of simply supported rectangular plate under biaxial load

Author	$\sigma_y/\sigma_x = 1.0$					
	a/b	1.00	1.25	1.50	1.75	2.00
	t/b	K				
Exact Sol.		2.000	1.640	1.444	1.327	1.250
Finite Strip	0.01	1.999	1.639	1.444	1.326	1.250
Present method		1.999	1.639	1.444	1.326	1.250
Finite Strip	0.1	1.777	1.475	1.317	1.221	1.159
Present method		1.873	1.568	1.388	1.279	1.207

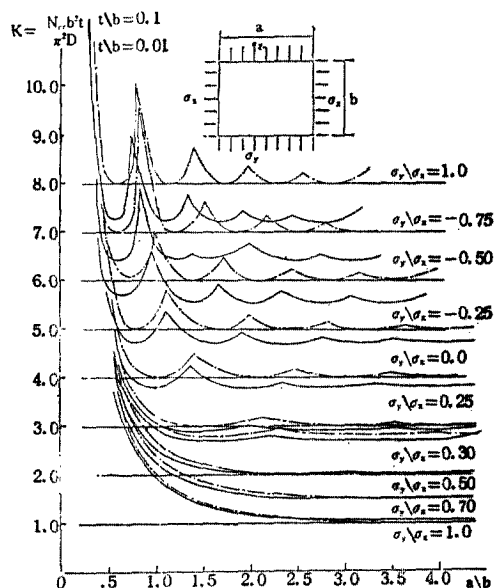


Fig. 8. Buckling factors for simply supported rectangular plates under biaxial loads.

獻[5, 11, 14]와 比較하여 Table 4와 Fig. 8 9에 나타내었다. 이에서 알 수 있는바와 같이 二軸 壓縮時에도 本論文의 解析 方法이 높은 精度를 나타낸다.

Table 5. Comparison of Computational effort

time used method	CPU	I/O	CON	FEM: Present method
F. E. M	0 : 00 48 : 38	1 : 29 0 : 01	0 : 00 14 : 12	$8.0 \times 10^4$
Present method	0 : 00 0 : 57	0 : 02 0 : 03	0 : 00 0 : 07	1

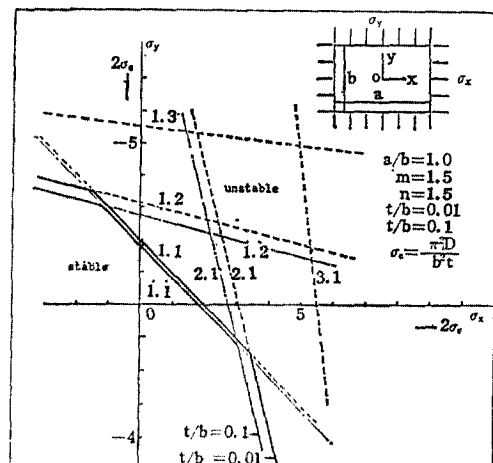


Fig. 9. Stability region for a simply supported plates subjected to longitudinal and transverse compression

다.

### 3. 電算 時間의 比較

本論文의 文法과 有限要素法의 境遇에 電算 時間을 比較한 結果 Table 5에서와 같이 經濟的인 側面에서 대단히 有利한 方法이라 생각된다.

### IV. 結 言

本論文에서는 比較的 두께가 두꺼운 等方性 平板의 挫屈解析을 Ritz의 方法을 適用하여 수령하

1. 本論文의 결론을 요약해.

(1) 본 연구는 보통의 평면적 탄屈解析에 있어, 두께비  $t/b = 0.5$  이상의 대체적 탄屈解析을 적용하여 탄屈解析을 확장한 것이다.

(2) 本論文의 평면적 탄屈解析 결과는 유기 解析의 한계를 극복하기 위하여 탄屈解析을 적용하여 탄屈解析을 확장하는 방법으로써, 탄屈解析의 적용 범위를 확장한 방법임을 알 수 있다.

(3) 本論文에서 사용된 탄屈解析은 직사각형 평면적 탄屈解析에 대한 문제를勿論一部變形하여補剛재 평면적 탄屈解析에 적용할 수 있다.

(4) 本論文의 方法는 印刷 要素法에 依한 解析보다는 球形과 級形의 차이를 하나 더擴張하여 보다 확장된 解析에 사용하는 경우에 탄屈解析의 확장은 必要하다.

### 参考文献

- [1] S.P. Timoshenko and J.M. Gere, "Theory of classic stability" 2nd ed., McGraw-Hill Book Ltd. 1961.
- [2] Rudolph Szilard "Theory and analysis of plates" Prentice-Hall Inc. 1974.
- [3] M.S. Troitsky "Stiffened plates bending, stability and vibration" Elsevier Scientific publishing Co., 1976.
- [4] E. Hinton "A thick finite strip solution for static, free vibration and stability problem" I.J.N.M.E. Vol.10, 1976.
- [5] E. Hinton "Buckling of initially stressed Mindlin plates using a finite strip method" Computers and Structures Vol.8, 1978.
- [6] K.J. Bathe and E.L. Wilson "Numerical

method in finite element analysis" Prentice Hall Inc. 1976.

[7] G.V. Rao, J. Venkataraman and K.K. Raju "Stability of moderately thick rectangular plates using a high precision triangular element" Computers and structures Vol.15, 1975.

[8] K.K. Kapur and B.J. Hartz "Stability of plates using the finite element method" ASCE. Engineering Mechanics Div. 1966.

[9] D.J. Allman "Calculation of the elastic buckling loads of thin flat reinforced-plates using triangular finite element" I.J.N.M.E. Vol.9, 1975.

[10] 양박달자, "補剛재의 振幅解析" 工學碩士 學位論文, 延世大學校, 1981.

[11] 이재신, "船體構造力學" 初版, 財團法人 韓國海事問題研究所,

[12] 服部堅一"船體 構造設計 における 振幅基準" 住友重機了技術, Vol.24, No.72, 1976.

[13] S. Srinivas and A.K. Rao, "Buckling of thick rectangular plates" AIAAJ. 7(8), 1945 --1646(1969)

[14] Ir. H. Geertsema "Buckling analysis of ship plate-structures" Report No.207s, Netherland ship research centre TNO, Delft, The Netherland.

### 後記

本論文의 作成中 모든 면에서 도움이 된 告를 謝신 船工學科 教授 모든 분에게 感謝드리며 特히 本論文의 作成에 도움을 떠올려 주신 이주성 教授에게 謝意를 표합니다.